



# Il metabolismo osseo nell'anoressia nervosa

Fabio Vescini

Primo Annuncio

**CUORE, RENE  
E DINTORNI**

*Domande e risposte  
su terapia, dieta, attività fisica  
e riabilitazione*

**Sabato 16 Novembre 2019**

*Fondazione Cassa di Risparmio di Gorizia  
GORIZIA*

ANCE  
Caricatura Patria del Territorio

# Agenda

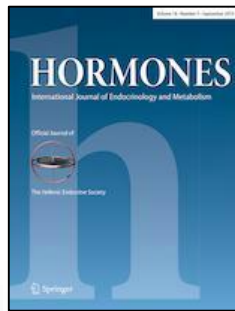
- Meccanismi fisiopatologici della perdita di massa ossea nell'anoressia
- Densità minerale ossea (BMD) nell'anoressia e rischio di frattura
- Metodiche di misurazione della BMD
- Strategie terapeutiche per il recupero della BMD

# Agenda

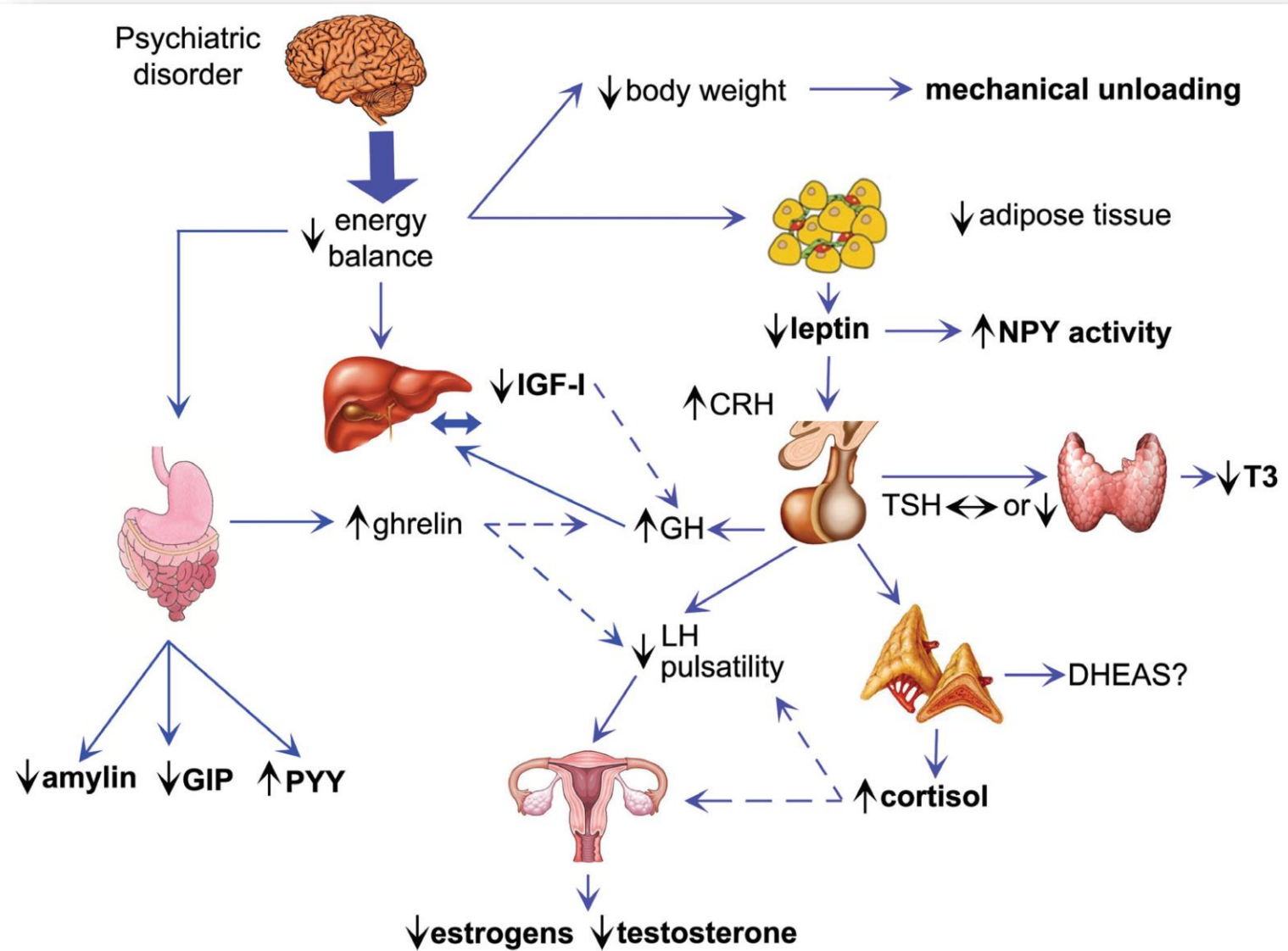
- Meccanismi fisiopatologici della perdita di massa ossea nell'anoressia
- Densità minerale ossea (BMD) nell'anoressia e rischio di frattura
- Metodiche di misurazione della BMD
- Strategie terapeutiche per il recupero della BMD

# Bone disease in anorexia nervosa

Anastasia D. Dede,<sup>1</sup> George P. Lyritis,<sup>2</sup> Symeon Tournis<sup>3</sup>

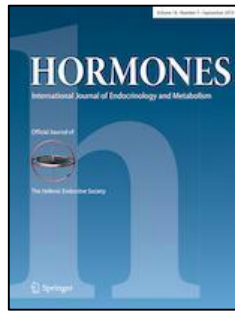


HORMONES  
2014, 13(1):38-56

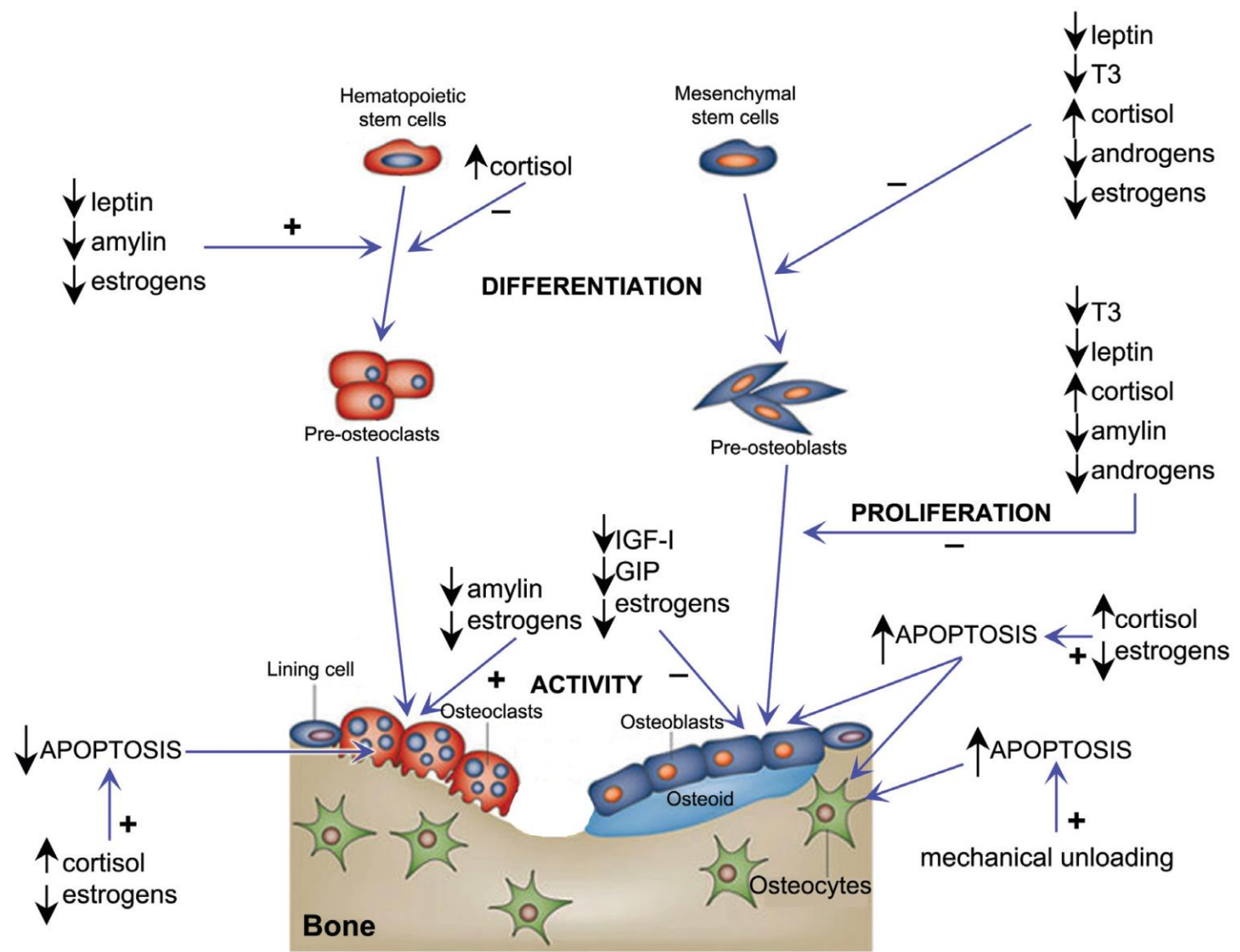


# Bone disease in anorexia nervosa

Anastasia D. Dede,<sup>1</sup> George P. Lyritis,<sup>2</sup> Symeon Tournis<sup>3</sup>



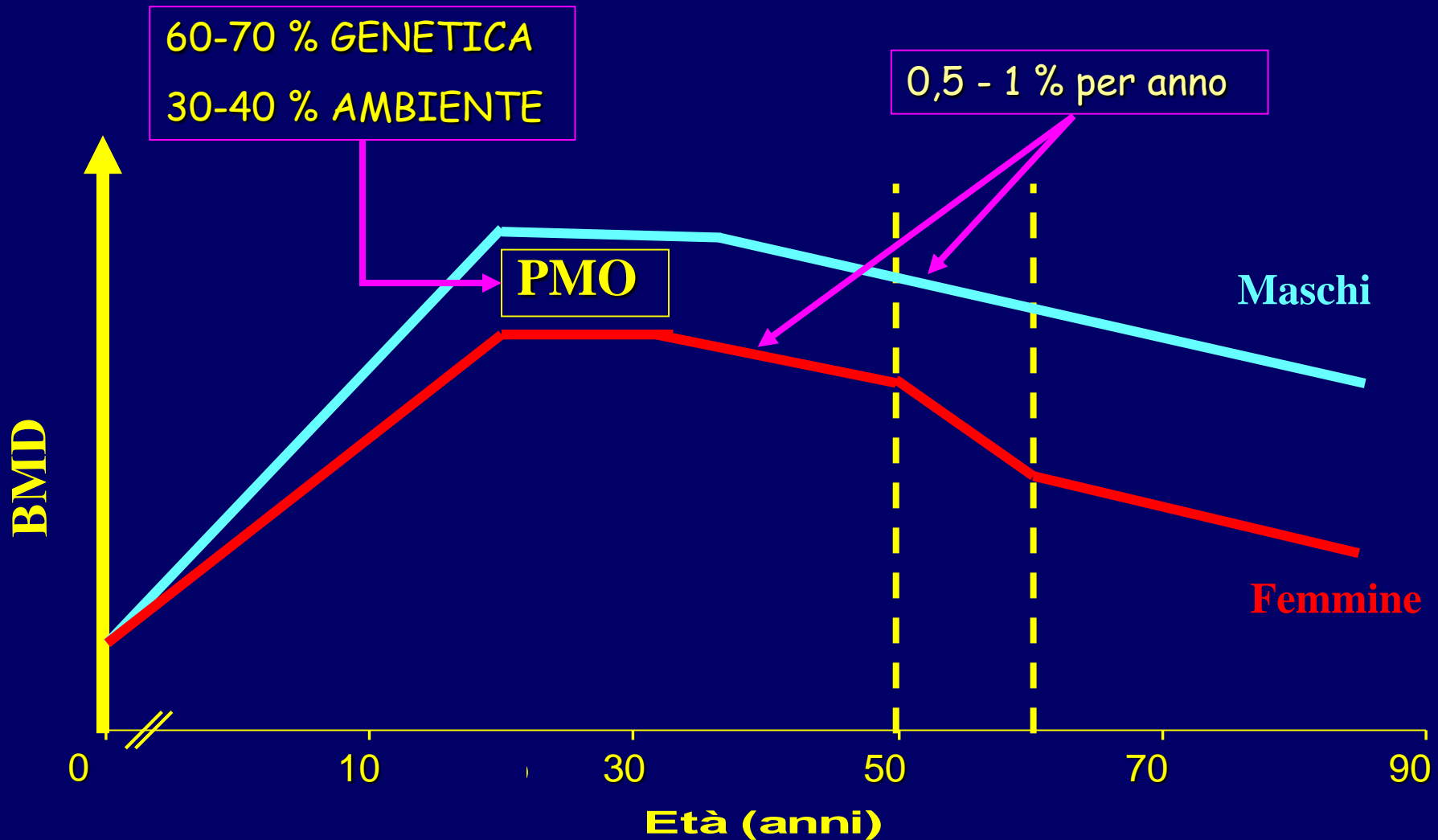
HORMONES  
2014, 13(1):38-56



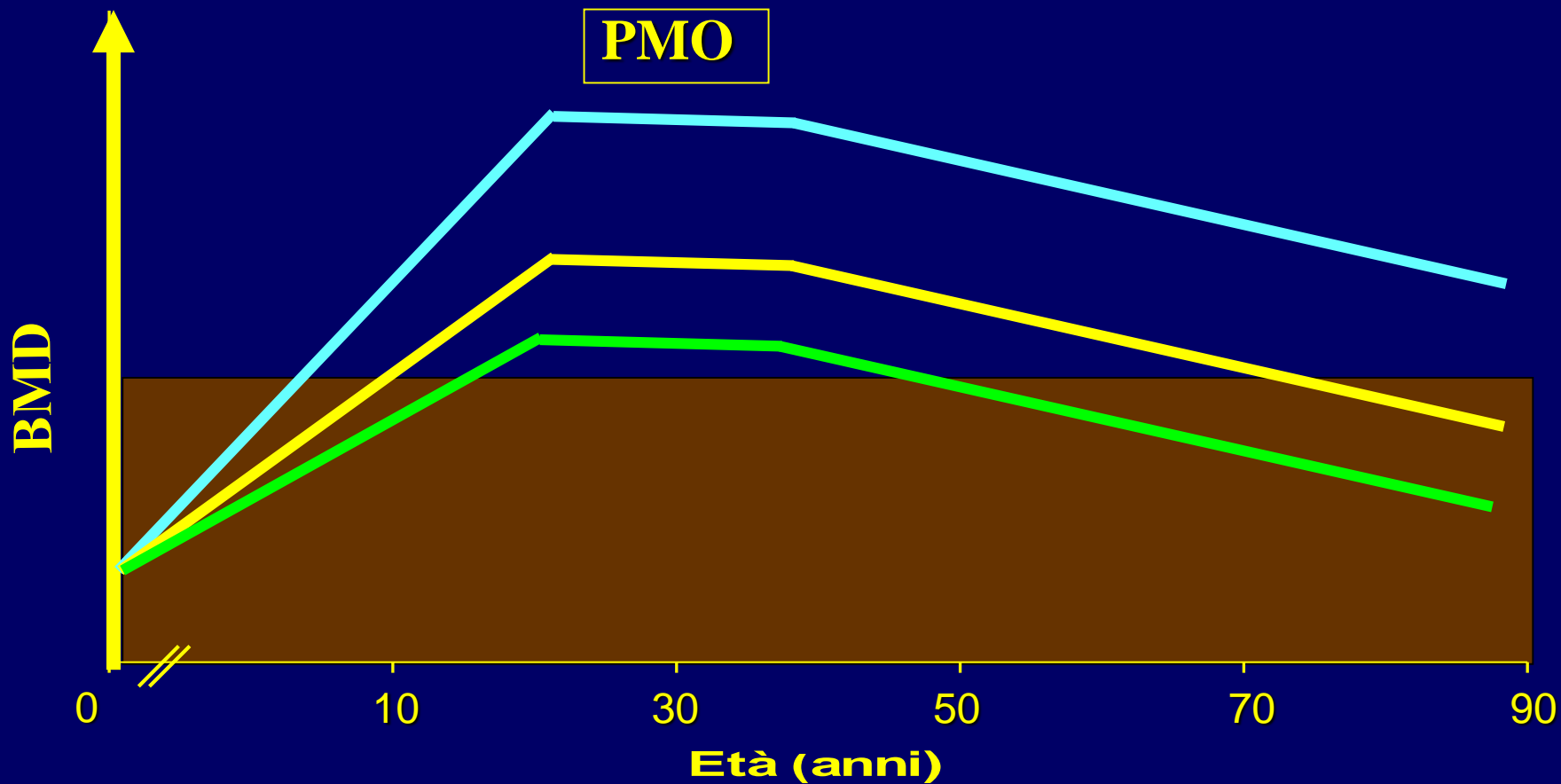
# Agenda

- Meccanismi fisiopatologici della perdita di massa ossea nell'anoressia
- Densità minerale ossea (BMD) nell'anoressia e rischio di frattura
- Metodiche di misurazione della BMD
- Strategie terapeutiche per il recupero della BMD

# Andamento fisiologico BMD



# Importanza del picco di massa ossea (PMO)

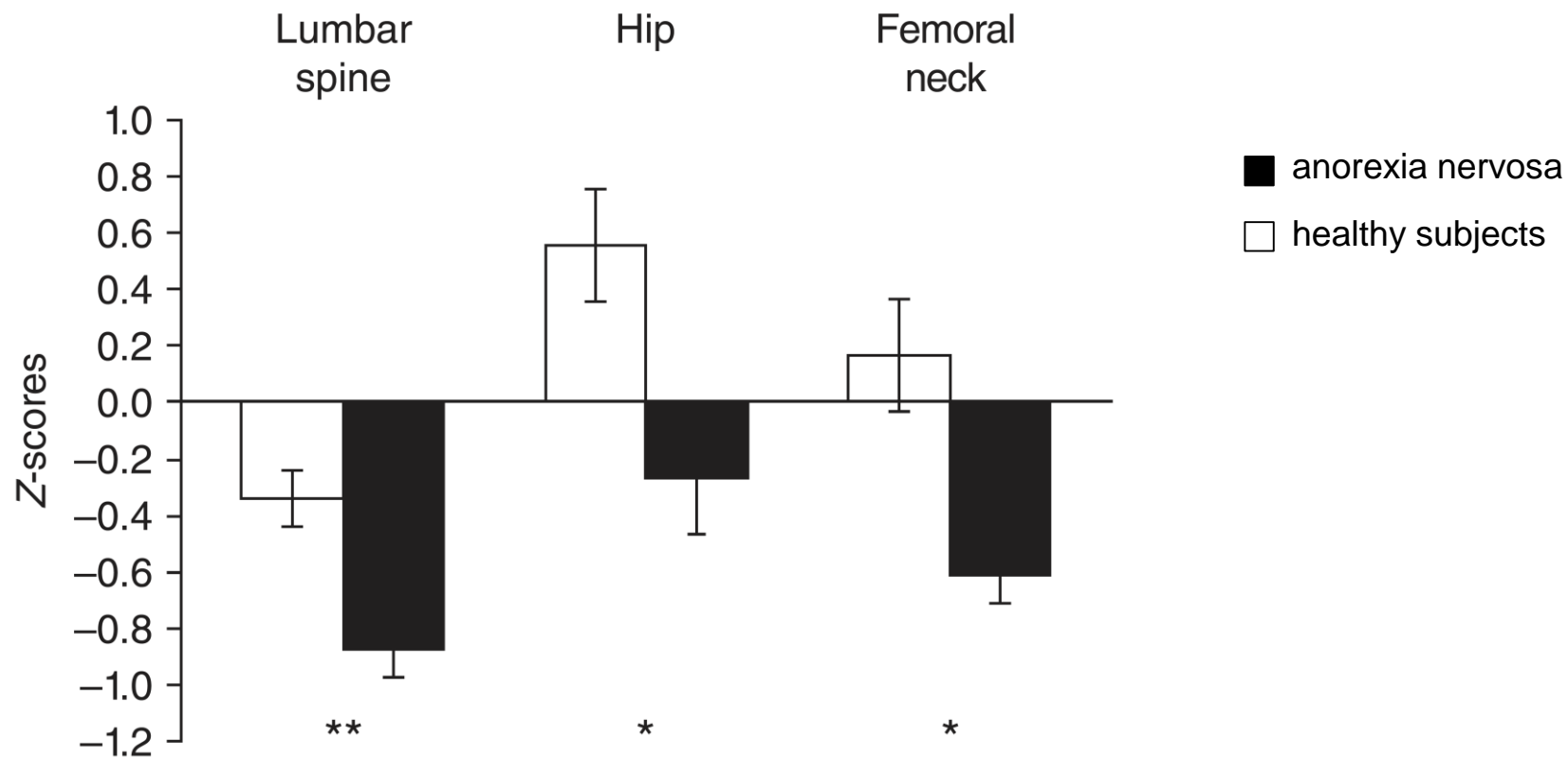




# Anorexia nervosa and bone

Madhusmita Misra<sup>1,2</sup> and Anne Klibanski<sup>1</sup>

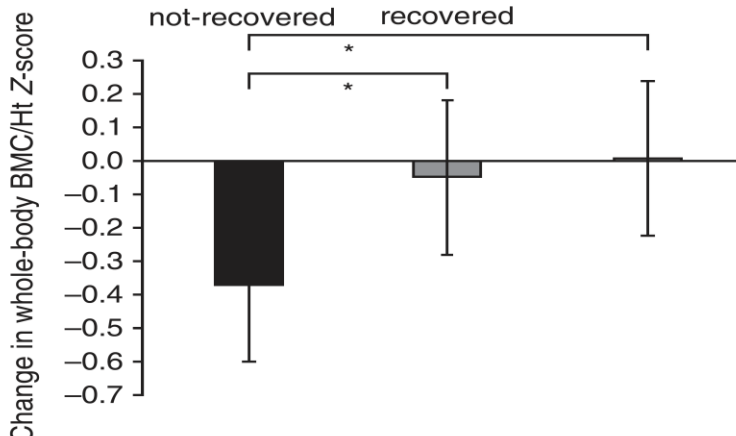
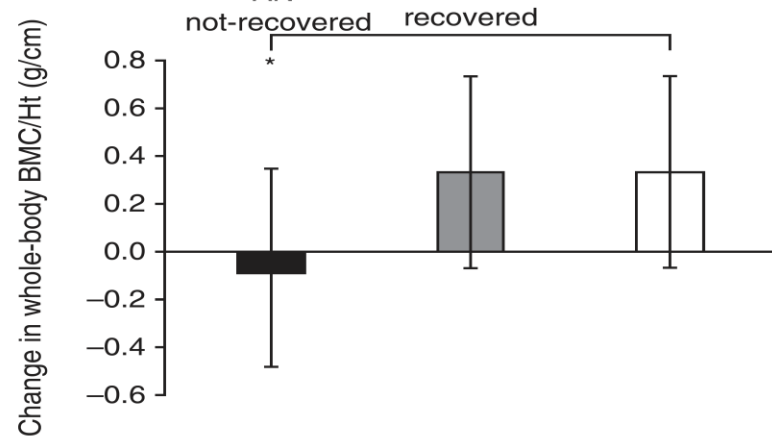
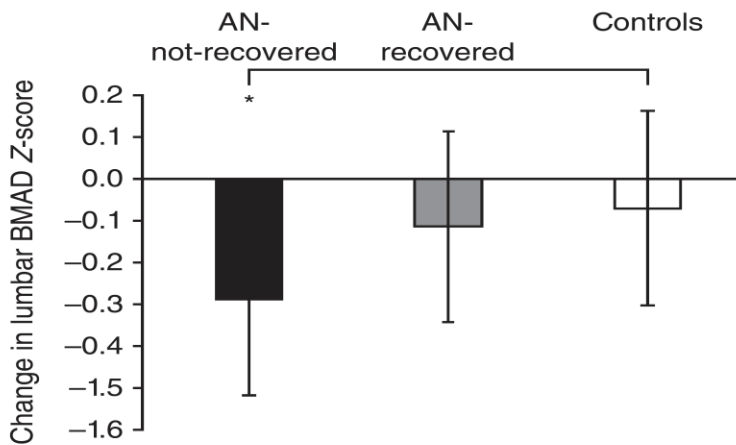
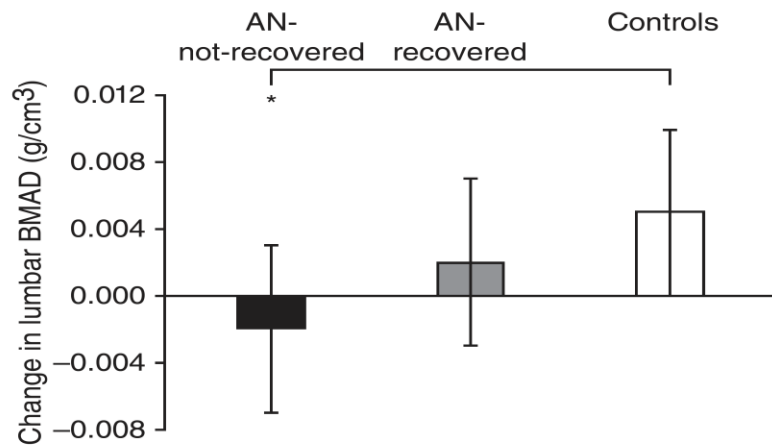
## Z-scores bone mineral densities in girls with anorexia nervosa and healthy control subjects





# Anorexia nervosa and bone

Madhusmita Misra<sup>1,2</sup> and Anne Klibanski<sup>1</sup>



# Assessment of Sex Differences in Fracture Risk Among Patients With Anorexia Nervosa: A Population-Based Cohort Study Using The Health Improvement Network

Jason M Nagata,<sup>1</sup> Neville H Golden,<sup>1</sup> Mary B Leonard,<sup>1</sup> Lawrence Copelovitch,<sup>2</sup> and Michelle R Denburg<sup>2</sup>



J Bone Miner Res.  
2017;32(5):1082-1089

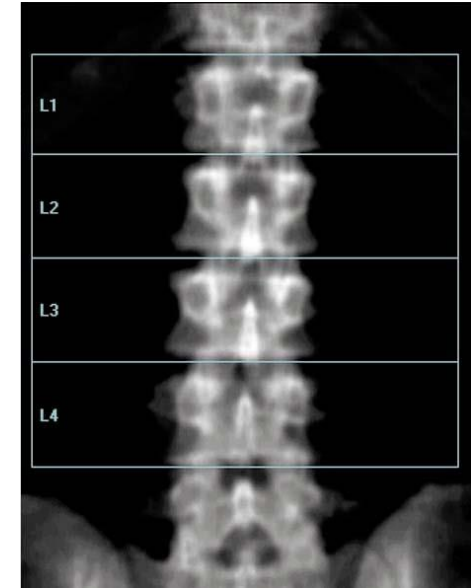
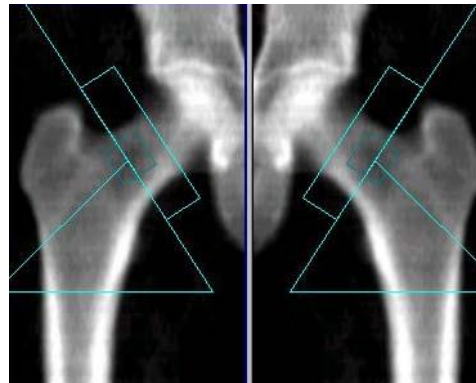
**Table 3.** Age-Adjusted HR for Fracture Associated With AN in Females Versus Males

Site	Number of events		Females		Males	
	Females	Males	HR (95% CI)	p	HR (95% CI)	p
Vertebra	98	5	<b>2.19 (1.30–3.69)</b>	<b>0.003</b>	<b>7.25 (1.21–43.45)</b>	<b>0.03</b>
Skull/face	139	36	<b>2.15 (1.39–3.34)</b>	<b>0.001</b>	0.30 (0.04–2.18)	0.23
Pelvis	46	1	<b>4.54 (2.42–8.50)</b>	<0.001	—	—
Rib/thorax	130	15	<b>2.87 (1.89–4.36)</b>	<0.001	1.67 (0.38–7.42)	0.50
Clavicle/scapula	114	34	<b>2.20 (1.36–3.57)</b>	<b>0.001</b>	0.32 (0.04–2.32)	0.26
Humerus/elbow	244	17	<b>2.17 (1.56–3.02)</b>	<0.001	1.39 (0.32–6.10)	0.66
Forearm/wrist	736	46	<b>1.49 (1.19–1.85)</b>	<0.001	0.74 (0.23–2.40)	0.62
Hand	657	124	<b>1.40 (1.11–1.78)</b>	<b>0.005</b>	0.73 (0.35–1.49)	0.38
Hip/femur	72	7	<b>5.59 (3.44–9.09)</b>	<0.001	1.89 (0.23–15.74)	0.56
Lower leg/ankle	554	48	1.28 (0.98–1.68)	0.07	0.71 (0.22–2.28)	0.57
Foot	714	62	<b>1.36 (1.08–1.71)</b>	<b>0.008</b>	1.81 (0.89–3.67)	0.10
Multiple sites	11	1	<b>3.89 (1.03–14.67)</b>	<b>0.045</b>	—	—
Not specified	723	57	<b>1.91 (1.56–2.33)</b>	<0.001	1.26 (0.54–2.94)	0.59
Overall	3589	373	<b>1.59 (1.45–1.75)</b>	<0.001	1.05 (0.74–1.49)	0.80

# Agenda

- Meccanismi fisiopatologici della perdita di massa ossea nell'anoressia
- Densità minerale ossea (BMD) nell'anoressia e rischio di frattura
- **Metodiche di misurazione della BMD**
- Strategie terapeutiche per il recupero della BMD

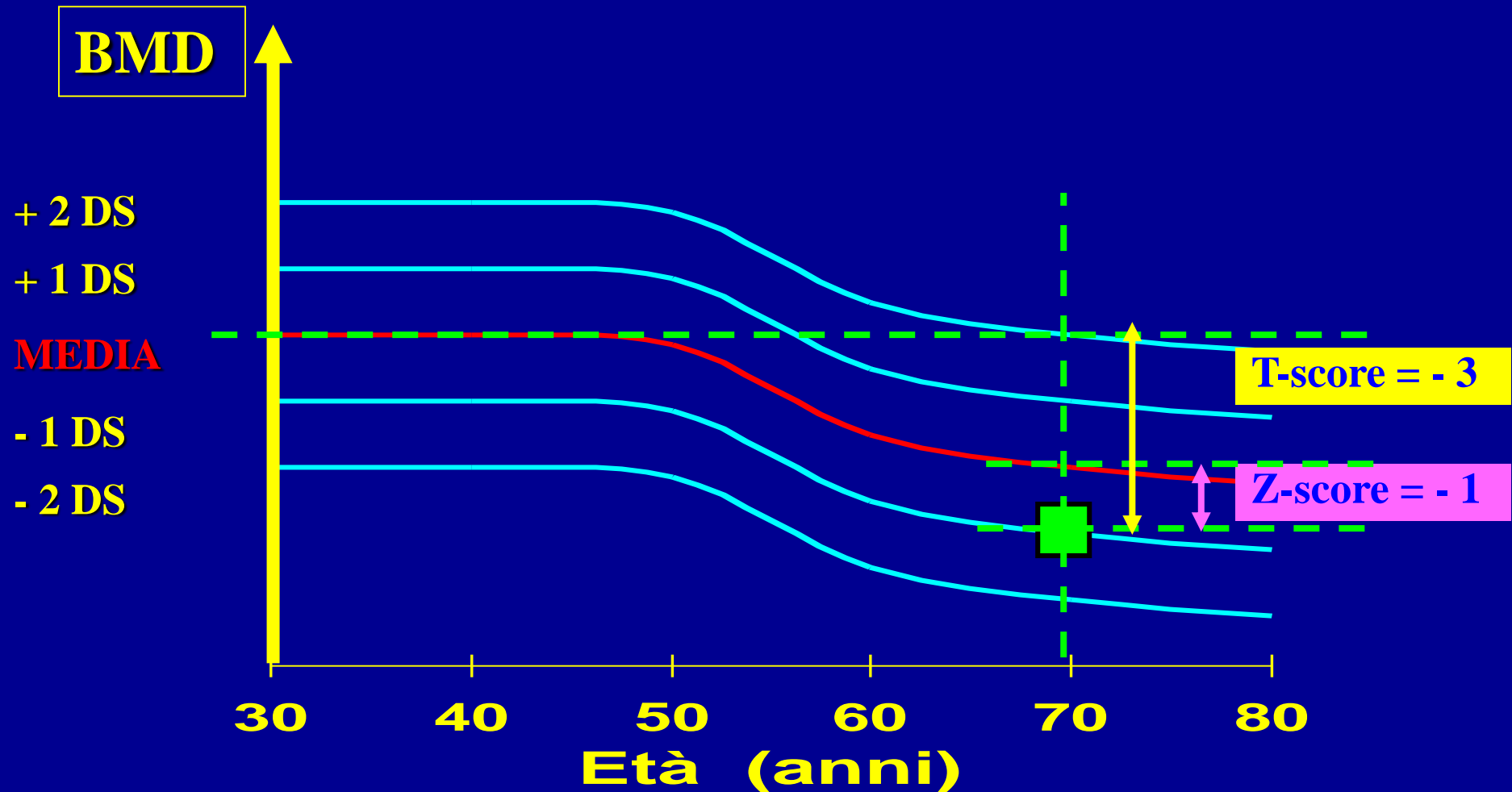
# Standard Clinical Assessment of Bone Mineral Density (BMD)



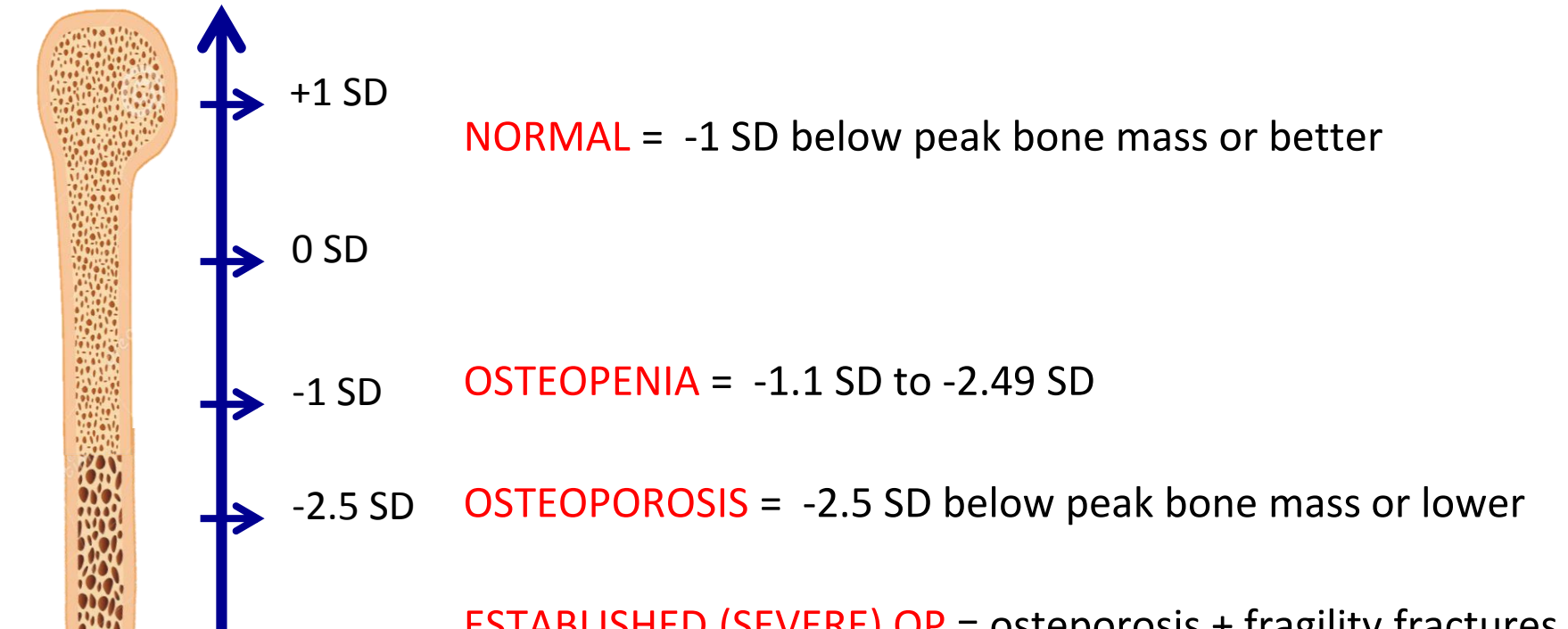
**BMC = Bone Mineral Content (grams)  
Area (cm<sup>2</sup>)**

$$\text{BMD } (\text{g/cm}^2) = \frac{\text{BMC}}{\text{Area}}$$

# Calcolo del T- e dello Z-score



# Diagnosis by T-score



World Health  
Organization



The International Society  
For Clinical Densitometry

# **Executive Summary of the 2019 ISCD Position Development Conference on Monitoring Treatment, DXA Cross-calibration and Least Significant Change, Spinal Cord Injury, Periprosthetic and Orthopedic Bone Health, Transgender Medicine, and Pediatrics**



*Christopher R. Shuhart,<sup>1,\*</sup> Swan Sim Yeap,<sup>2</sup> Paul A. Anderson,<sup>3</sup>  
Lawrence G. Jankowski,<sup>4</sup> E. Michael Lewiecki,<sup>5</sup> Leslie R. Morse,<sup>6</sup>  
Harold N. Rosen,<sup>7</sup> David R. Weber,<sup>8</sup> Babette S. Zemel,<sup>9</sup> and John A. Shepherd<sup>10</sup>*

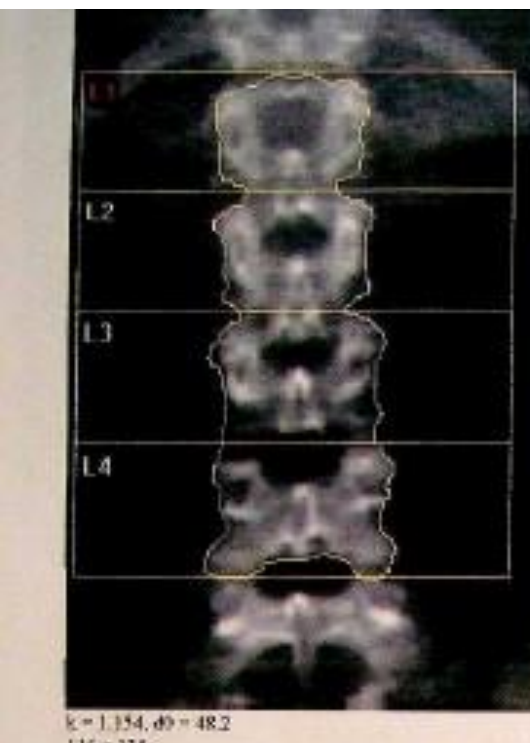
J Clin Densitom. 2019.  
doi: 10.1016/j.jocd.2019.07.001

## **Official Positions - BMD reporting in postmenopausal women and in men age 50 and older**

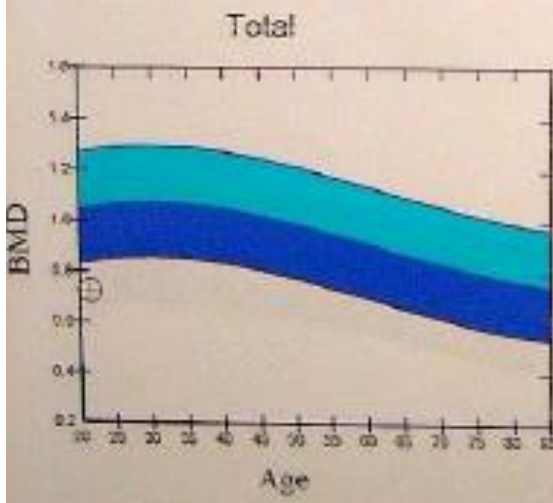
- ✓ T-scores are preferred.
- ✓ The WHO densitometric classification is applicable.

## **Official Positions - BMD reporting in females prior to menopause and in males younger than age 50**

- ✓ Z-scores, not T-scores, are preferred. This is particularly important in children.
- ✓ A Z-score of - 2.0 or lower is defined as "**below the expected range for age**", and a Z-score above -2.0 is "**within the expected range for age**".
- ✓ Osteoporosis cannot be diagnosed in fertile females and men under age 50 on the basis of BMD alone.
- ✓ The diagnosis of osteoporosis in children and adolescents should not be made on the basis of BMD alone, but only in the presence of low-energy fractures (at least 1 vertebral crush or 2 or more long bone fractures).



$k = 1.154$ ,  $d0 = 48.2$   
 $116 \times 135$



BMD curve and age-matched in White Female

femmina di 21 anni

DXA Results Summary:

Region	Area (cm <sup>2</sup> )	BMC (g)	BMD (g/cm <sup>2</sup> )	T - Score	PR (%)	Z - Score	AM (%)
L2	11.87	8.59	0.724	-2.8	70	-2.6	72
L3	14.52	10.68	0.738	-3.2	68	-3.0	69
L4	15.19	10.82	0.712	-3.7	64	-3.5	65
Total	41.57	30.09	0.724	-3.2	67	-3.0	68

Total BMC: 110%, ACF: 105, BCF: 1008, TH: 4.666

WHO Classification: Osteoporosis  
Fracture Risk:

**BMD al di sotto  
della norma  
per l'età**

# Agenda

- Meccanismi fisiopatologici della perdita di massa ossea nell'anoressia
- Densità minerale ossea (BMD) nell'anoressia e rischio di frattura
- Metodiche di misurazione della BMD
- Strategie terapeutiche per il recupero della BMD

# Bone disease in anorexia nervosa

Anastasia D. Dede,<sup>1</sup> George P. Lyritis,<sup>2</sup> Symeon Tournis<sup>3</sup>



HORMONES  
2014, 13(1):38-56

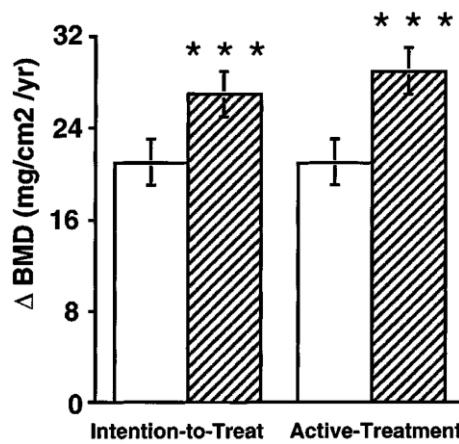
**Table 2.** Summary of the most important RCTs for the treatment of bone disease in patients with anorexia nervosa

Author / year	Intervention	Duration	N	Age	Outcome
Klibanski et al, 1995 <sup>71</sup>	oral HRT / observation	18 months	48	16-42	↔ LS BMD
Strokosch et al, 2006 <sup>195</sup>	triphasic OCP / placebo	~12 months	112	11-17	NS change in BMD vs placebo
Misra et al, 2011 <sup>196</sup>	transdermal estradiol or ehtinylestradiol / placebo	18 months	110	12-18	↑ LS + hip BMD z-scores vs placebo
Bloch et al, 2012 <sup>197</sup>	DHEA / placebo	6 months	26	17-47	NS change in BMD vs placebo
Gordon et al, 2002 <sup>198</sup>	DHEA / OCP	12 months	61	14-28	↔ LS BMD, ↑ hip BMD NS vs placebo
DiVasta et al, 2012 <sup>199</sup>	DHEA + OCP / placebo	18 months	80	13-27	↑ BMD LS + hip + wholebody vs placebo
Golden et al, 2005 <sup>202</sup>	alendronate / placebo	12 months	32	12-21	↑ BMD LS + hip NS vs placebo
Miller et al, 2011 <sup>204</sup>	risedronate + testosterone / risedronate / testosterone/ placebo	12 months	77	18-45	Risedronate: ↑ LS + ↑ hip BMD vs placebo. Testosterone NS effect
Grinspoon et al, 2002 <sup>206</sup>	rhIGF-I + OCP / rhIGF-I / OCP / placebo	9 months	60	18-38	rhIGF-I: ↑ LS BMD vs placebo. OCP NS effect rhIGF-I + OCP > rhIGF-I ↑



# RUOLO DEL CALCIO





## CIBI RICCHI DI CALCIO E ACQUISIZIONE DI MASSA OSSEA

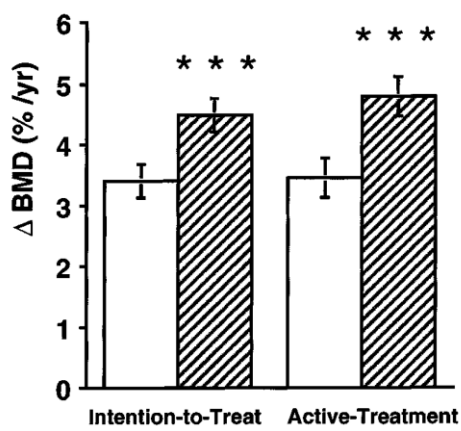
**149 bambine sane pre-puberi**

$7,9 \pm 0,1$  anni

randomizzate:

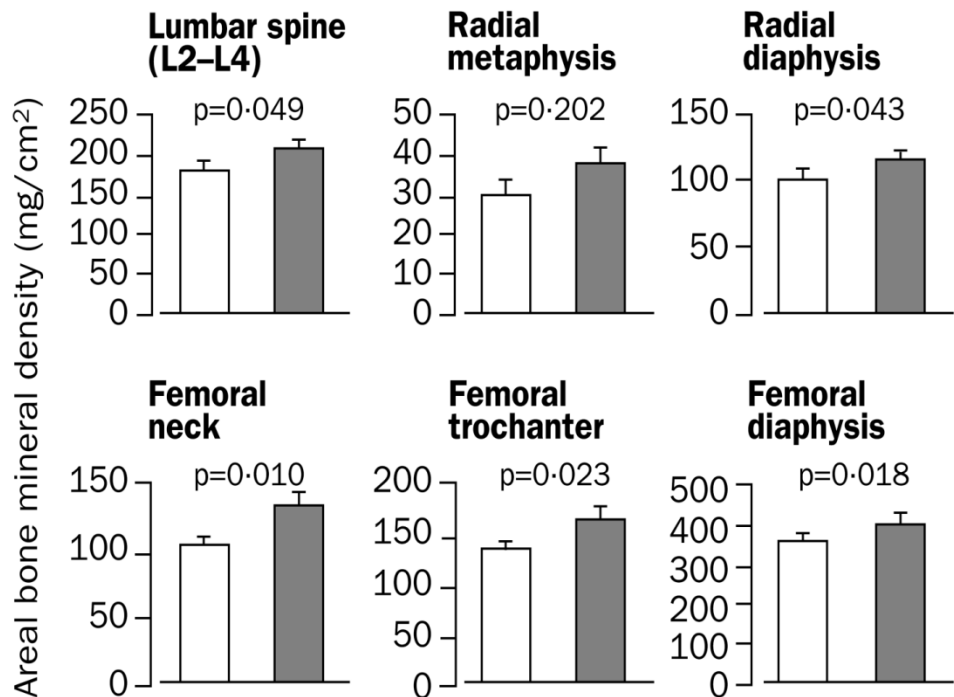
- 850 mg/die di calcio alimentare
- placebo

seguite per 1 anno



Spontaneous calcium intake	Active-treatment cohort			
	< median <sup>a</sup>		> median	
	Placebo	Ca suppl.	Placebo	Ca suppl.
n = 29	n = 25	n = 24	n = 30	
Calcium intake (mg/d)	711±19	1441±34 <sup>  </sup>	1224±76	1958±42 <sup>  </sup>
Δ Height (cm/yr)	4.8±0.2	5.4±0.3*	5.3±0.2	5.3±0.2
Δ Weight (kg/yr)	3.4±0.3	3.6±0.3	3.9±0.3	3.3±0.3
Δ BMD (mg/cm <sup>2</sup> /yr)	19±3	30±3 <sup>§</sup>	23±2	28±3
Δ BMC (mg/yr)	610±43	753±58 <sup>‡</sup>	669±51	705±36
Δ Bone area (mm <sup>2</sup> /yr)	59.5±4.1	68.5±3.5	63.4±4.7	63.9±2.8

## CIBI RICCHI DI CALCIO E ACQUISIZIONE DI MASSA OSSEA



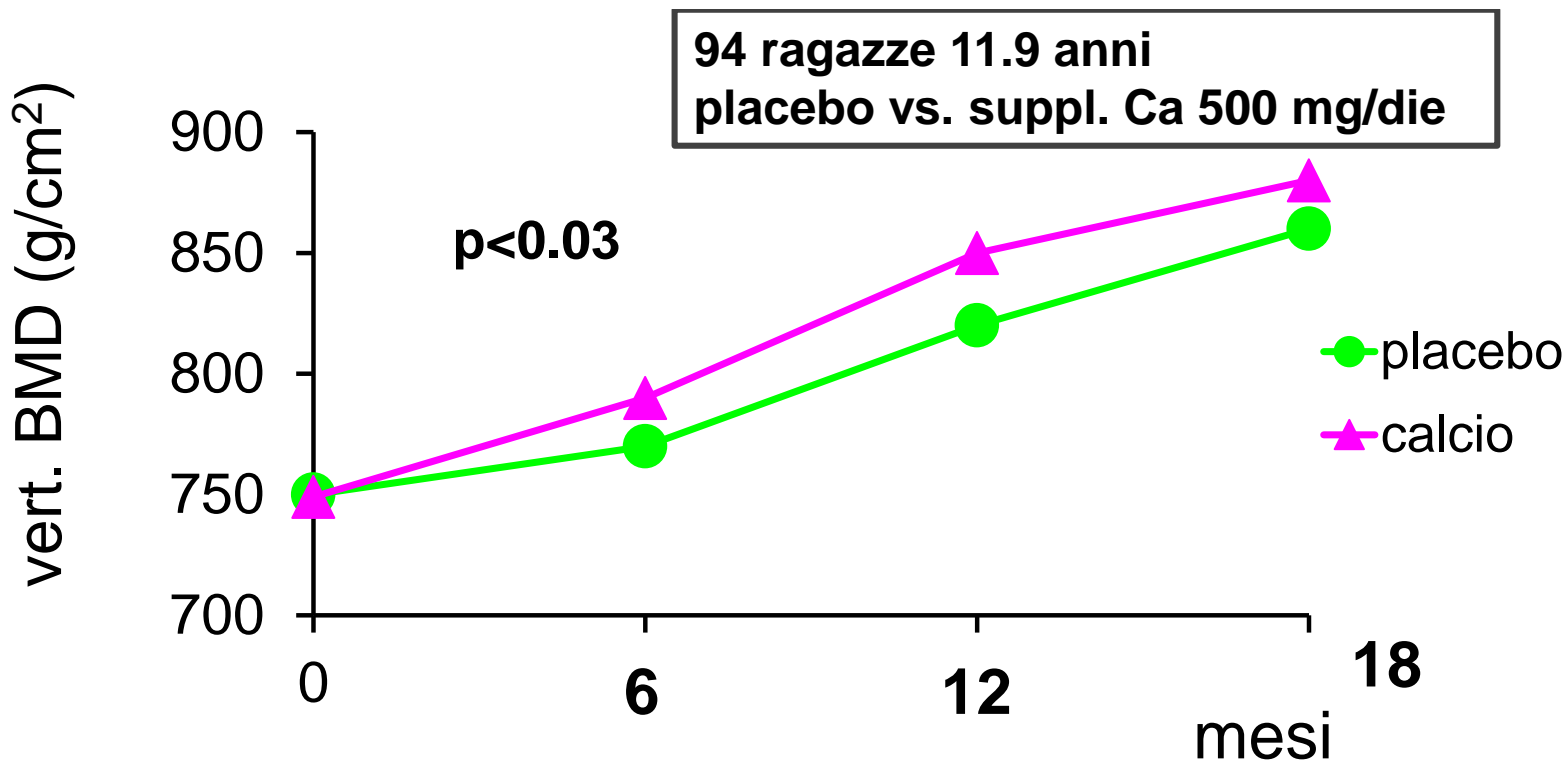
**116 bambine**  
dello studio precedente

Rivalutate 3-5 anni  
dopo la sospensione  
del calcio:

**BMD peristeva più elevata  
nel gruppo delle trattate,  
rispetto al placebo**

*Bonjour JP et al. Lancet 2001*

# SUPPLEMENTI DI CA E BMD IN RAGAZZE ADOLESCENTI

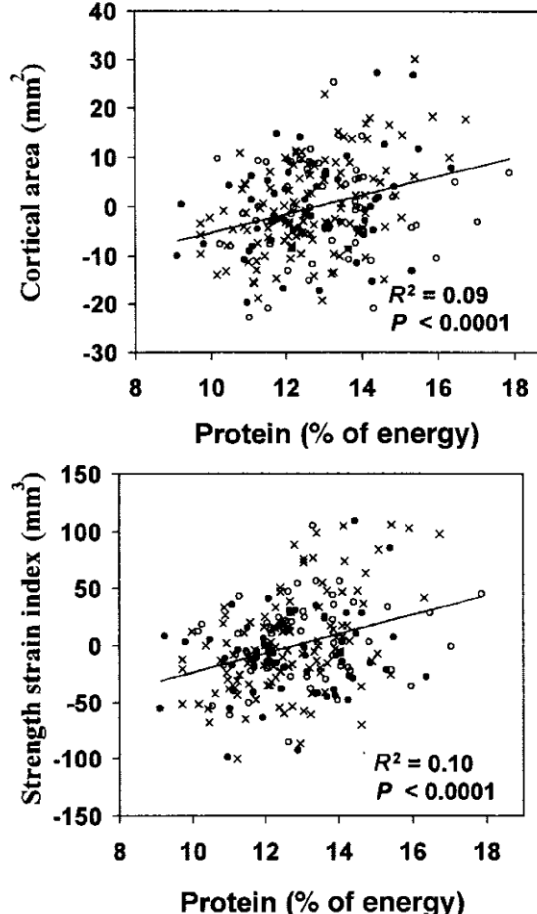
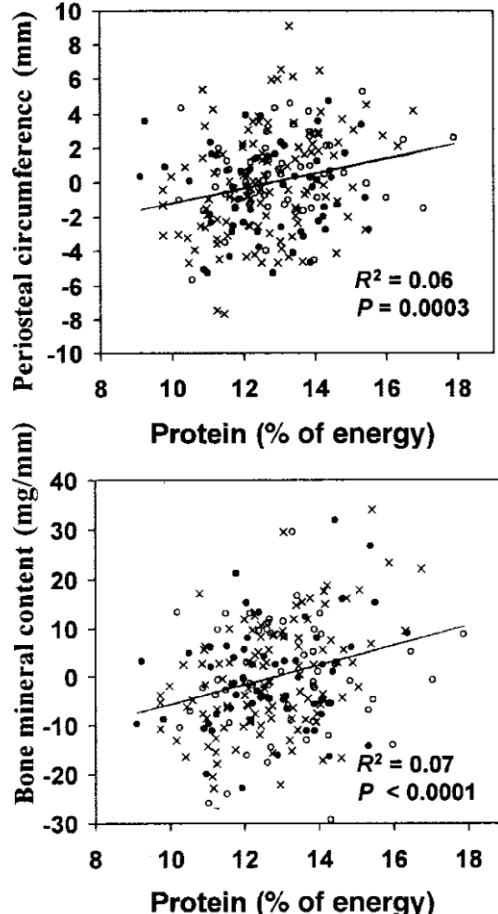


Lloyd et al. JAMA 1993

# RUOLO DELLE PROTEINE



# PROTEINE E ACQUISIZIONE DELLA MASSA OSSEA



229 soggetti 6-18 anni per 4 anni

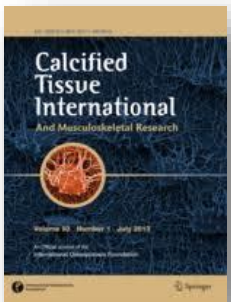
## apporto PROTEINE

è associato con:

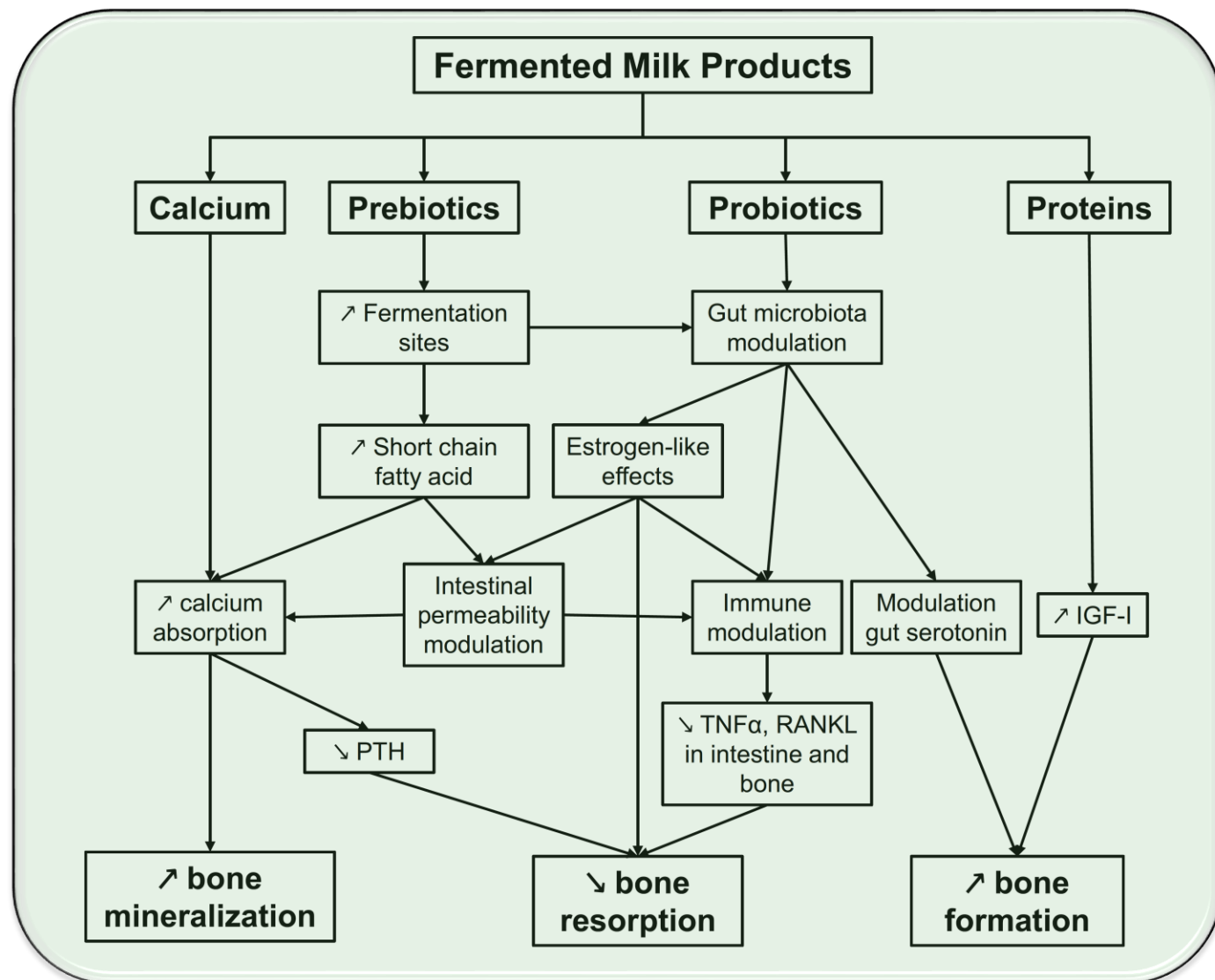
- circ. periostale
- area corticale
- BMC
- resistenza ossea

# Effects of Fermented Milk Products on Bone

René Rizzoli<sup>1</sup> · Emmanuel Biver<sup>1</sup>



Calcif Tissue Int.  
(2018) 102:489–500



# Dietary Guidelines for Children's Weight Gain

Be sure to include:



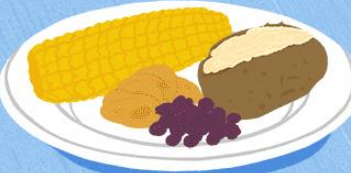
Whole grains



Dairy products



Unsaturated & polyunsaturated fats



Fruits & vegetables



Refined grains



Protein sources

pixta.com - 23398592





**Grazie per l'attenzione**